

# Обобщенный формализм Филипса–Клейнмана для атомов с одним валентным электроном

Неканонические уравнения Хартри–Фока для атома Li (лекция № 2):

$$\hat{F}_1 |\varphi_{1s}\rangle = \varepsilon_{11} |\varphi_{1s}\rangle + \varepsilon_{12} |\varphi_{2s}\rangle \quad (2.8)$$

$$\hat{F}_2 |\varphi_{2s}\rangle = 2\varepsilon_{12} |\varphi_{1s}\rangle + 2\varepsilon_{22} |\varphi_{2s}\rangle \quad (2.9)$$

где  $\varepsilon_{11} = \langle \varphi_{1s} | \hat{F}_1 | \varphi_{1s} \rangle = \varepsilon_{1s}$ ,  $2\varepsilon_{22} = \langle \varphi_{2s} | \hat{F}_2 | \varphi_{2s} \rangle = \varepsilon_{2s}$ ;

$$\hat{F}_1 = \hat{h} + (2\hat{J}_{1s} - \hat{K}_{1s}) + (\hat{J}_{2s} - \hat{K}_{2s}/2); \quad \hat{F}_2 = \hat{h} + (2\hat{J}_{1s} - \hat{K}_{1s}). \quad (2.10)$$

После введения связывающих операторов первое и второе уравнения превращаются в **разные** канонические уравнения для  $\varphi_c = \varphi_{1s}$  и  $\varphi_v = \varphi_{2s}$ .

- **Аналог уравнения (2.9) для произвольного одновалентного атома:**

$c = 1, \dots, N_c/2$  – индексы остовных орбиталей;  $v$  – индекс валентной:

$$\hat{F}_v \varphi_v = \varepsilon_v \varphi_v + 2 \sum_c \varepsilon_{cv} \varphi_c; \quad (6.1)$$

$$\hat{F}_v = \hat{h} + \sum_c (2\hat{J}_c - \hat{K}_c) \quad (6.2)$$

– валентный фокиан.

- **Уравнение для псевдовалентной орбитали**

$$\chi_v = \varphi_v + \sum_c \lambda_c \varphi_c \quad (6.3)$$

Как и в примере про атом Li,  $\varphi_c$  не являются собственными функциями валентного фокиана  $\Rightarrow$  применим **обобщенный формализм Филипса–Клейнмана (Weeks, Rice, 1968)** из прошлой лекции (№5).

- **Введем основной проектор:**  $P_c = \sum_c |\varphi_c\rangle\langle\varphi_c|$

Тогда  $\varphi_v = (1 - P_c)\chi_v$  (**Задача 2 из лекции 5**) и подставляем в (6.1):

$$\hat{F}_v (1 - P_c)\chi_v = \varepsilon_v (1 - P_c)\chi_v + 2 \sum_c \varepsilon_{cv} \varphi_c$$

Умножаем слева на  $(1 - P_c)$ :

$$(1 - P_c)\hat{F}_v (1 - P_c)\chi_v = \varepsilon_v (1 - P_c)\chi_v$$

Учли, что:  $(1 - P_c)^2 = (1 - P_c)$ ;  $(1 - P_c)\varphi_c = 0$ .

Раскрывая скобки и перегруппировывая, получаем

$$\left(\hat{F}_v + \hat{V}^{\text{GPK}}\right)\chi_v = \varepsilon_v \chi_v \tag{6.4}$$

$$\hat{V}^{\text{GPK}} = -\hat{F}_v \hat{P}_c - \hat{P}_c \hat{F}_v + \hat{P}_c \hat{F}_v \hat{P}_c + \varepsilon_v \hat{P}_c \tag{6.5}$$

- **Замечание:** нормировка псевдоорбитали  $\chi_v$  по-прежнему не важна!

(уравнение **(6.4)** – линейное относительно  $\chi_v$ )

- **Локальный эффективный остовный потенциал (Kahn et al, 1976)**

*L. R. Kahn, P. Baybutt and D. G. Truhlar / Journal of Chemical Physics 65 (1976) 3826*

$$\left( \hat{F}_v + \hat{V}^{\text{GPK}} \right) \chi_v = \varepsilon_v \chi_v \quad (6.4)$$

Подставляем  $\hat{F}_v = \hat{h} + \sum_c (2\hat{J}_c - \hat{K}_c)$  из (6.2) и группируем слагаемые:

$$\left\{ \sum_c (2\hat{J}_c - \hat{K}_c) + \hat{V}^{\text{GPK}} \right\} \chi_v = (\varepsilon_v - \hat{h}) \chi_v \quad (6.6)$$

$$\chi_v \neq 0 \quad \Rightarrow \quad \frac{\left\{ \sum_c (2\hat{J}_c - \hat{K}_c) + \hat{V}^{\text{GPK}} \right\} \chi_v}{\chi_v} = \varepsilon_v - \frac{\hat{h} \chi_v}{\chi_v} = U_v^{\text{core}} \quad (6.7)$$

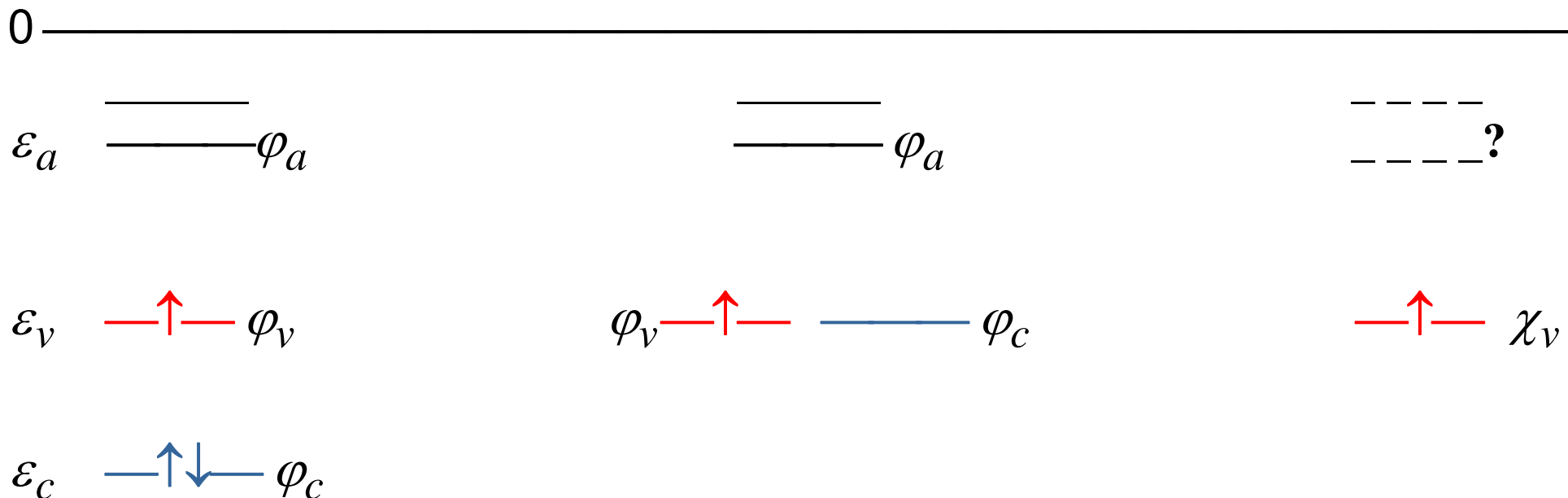
$U_v^{\text{core}}$  – эффективный остовный потенциал (effective core potential, ECP)

В силу (6.6)–(6.7),  $\chi_v$  удовлетворяет уравнению:

$$\left( \hat{h} + U_v^{\text{core}} \right) \chi_v = \varepsilon_v \chi_v \quad (6.8)$$

- **Преимущества концепции эффективных остовных потенциалов:**
  - 😊 Локальный потенциал  $U_v^{\text{core}}$ , *по построению*, включает все остовные эффекты, не входящие в  $h = -\frac{1}{2}\Delta - \frac{Z}{r}$ .
  - 😊  $\Rightarrow$  в частности, не нужно по раздельности аппроксимировать нелокальный потенциал  $\hat{V}^{\text{GPK}}$  и потенциал  $\sum_c (2\hat{J}_c - \hat{K}_c)$   
(как в методе MСР Хузинаги)
  - 😊 достаточно *один раз* построить псевдовалентную орбиталь  $\chi_v$  и выразить через нее потенциал  $U_v^{\text{core}}$  по уравнению (6.7).
- **Но при этом:**
  - 😞 каждой псевдовалентной орбитали  $\chi_v$  отвечает *свой*  $U_v^{\text{core}}$ .

# Одновалентный атом: HF $\rightarrow$ GPK $\rightarrow$ local ECP



## All-electron

$$\hat{F}_v \varphi_v = \varepsilon_v \varphi_v + 2 \sum_c \varepsilon_{cv} \varphi_c$$

$$\hat{F}_c \varphi_c = \varepsilon_c \varphi_c + \varepsilon_{cv} \varphi_v$$

## Non-local GPK

$$\left( \hat{F}_v + \hat{V}^{\text{GPK}} \right) \varphi_v = \varepsilon_v \varphi_v$$

$$\left( \hat{F}_v + \hat{V}^{\text{GPK}} \right) \varphi_c = \varepsilon_v \varphi_c$$

$$\left( \forall \chi_v = \lambda_v \varphi_v + \sum_c \lambda_c \varphi_c \right)$$

## Local ECP

$$\left( \hat{h} + U_v^{\text{core}} \right) \chi_v = \varepsilon_v \chi_v$$

- Проблема  $l$ -зависимости

**Пример:** атом Rb:  $[1s^2 2s^2 2p^6 3s^2 3p^6 3d^{10} 4s^2 4p^6] (nl)^1$

Приближение Хартри–Фока позволяет описывать только низшее состояние в каждом типе симметрии  $\Rightarrow$  актуальны только следующие валентные орбитали: 5s, 5p, 4d, 4f, 5g, 6h,...

- Красные: имеют партнёров в осто́ве  $\Rightarrow$  должны быть им ортогональны  $\Rightarrow$  имеют остовные узлы  $\Rightarrow$  требуется псевдовалентное преобразование:

$$\chi_{5s} = \varphi_{5s} + \lambda_{5s,1s} \varphi_{1s} + \lambda_{5s,2s} \varphi_{2s} + \lambda_{5s,3s} \varphi_{3s} + \lambda_{5s,4s} \varphi_{4s}$$

$$\chi_{5p} = \varphi_{5p} + \lambda_{5p,2p} \varphi_{2p} + \lambda_{5p,3p} \varphi_{3p} + \lambda_{5p,4p} \varphi_{4p}$$

$$\chi_{4d} = \varphi_{4d} + \lambda_{4d,3d} \varphi_{3d}$$

**В общем случае:**  $\forall l \leq l_c^{\max}: \quad \chi_{nl} = \varphi_{nl} + \sum_{n_c < n} \lambda_{nl,n_cl} \varphi_{n_cl} \quad (6.9)$

- Проблема  $l$ -зависимости

**Пример:** атом Rb:  $[1s^2 2s^2 2p^6 3s^2 3p^6 3d^{10} 4s^2 4p^6] (nl)^1$

Приближение Хартри–Фока позволяет описывать только низшее состояние в каждом типе симметрии  $\Rightarrow$  актуальны только следующие валентные орбитали:  $5s, 5p, 4d, 4f, 5g, 6h, \dots$

- **Зеленые:** не имеют партнёров в осто́ве  $\Rightarrow$  не имеют радиальных узлов (кроме  $r = 0$ )  $\Rightarrow$  не требуется псевдовалентного преобразования:

$$\chi_{4f} = \varphi_{4f} ; \quad \chi_{5g} = \varphi_{5g} ; \quad \chi_{4f} = \varphi_{4f} ; \dots$$

**В общем случае:**

$$l > l_c^{\max} : \quad \chi_{nl} = \varphi_{nl} \tag{6.10}$$

$$(n = n_{\min}(l) = l + 1)$$



- Проблема  $l$ -зависимости

**Пример:** атом Rb:  $[1s^2 2s^2 2p^6 3s^2 3p^6 3d^{10} 4s^2 4p^6] (nl)^1$

Приближение Хартри–Фока позволяет описывать только низшее состояние в каждом типе симметрии  $\Rightarrow$  актуальны только следующие валентные орбитали:  $5s, 5p, 4d, 4f, 5g, 6h, \dots$

Каждое значение  $l$  в этом ряду встречается ровно один раз  $\Rightarrow$  нужно построить ровно один **эффективный остовный потенциал** для каждого значения  $l = 0, 1, 2, \dots$ :

$$U_l^{\text{core}} = \varepsilon_{nl} - \frac{\hat{h}\chi_{nl}}{\chi_{nl}} \quad (6.11)$$

где  $\chi_{nl}$  определяется уравнениями (6.9) или (6.10) в зависимости от  $l$ .

- Проблема  $l$ -зависимости

Хартри-фоковские орбитали атома можно представить в виде:

$$\varphi_{nlm} = R_{nl}(r) \cdot Y_{lm}(\theta, \phi)$$

С учетом этого, псевдовалентные орбитали записываются как

$$\chi_{nlm} = \varphi_{nlm} + \sum_{n_c < n} \lambda_{nl, n_cl} \varphi_{n_clm} = \left[ R_{nl} + \sum_{n_c < n} \lambda_{nl, n_cl} R_{n_cl} \right](r) \cdot Y_{lm}(\theta, \phi)$$

Т.е. псевдовалентному преобразованию подвергаются только  $R_{nl}(r)$ :

$$R_{nl}(r) \mapsto \tilde{R}_{nl}(r) = \left[ R_{nl} + \sum_{n_c < n} \lambda_{nl, n_cl} R_{n_cl} \right](r) \quad (6.12)$$

(что естественно – нам нужно устранить именно радиальные узлы!)

## Явный вид эффективного остоного потенциала:

W.A. Goddard III / Phys. Rev. 174 (1968) 659

$$\begin{aligned}\hat{h}\chi_{nlm} &= \left(-\frac{1}{2}\Delta - \frac{Z}{r}\right)\tilde{R}_{nl}(r) \cdot Y_{lm}(\theta, \phi) = \\ &= \left(-\frac{1}{2}\tilde{R}_{nl}'' - \frac{1}{r}\tilde{R}_{nl}' + \left[\frac{l(l+1)}{2r^2} - \frac{Z}{r}\right]\tilde{R}_{nl}\right)(r) \cdot Y_{lm}(\theta, \phi) \\ U_l^{\text{core}} &= \varepsilon_{nl} - \frac{\hat{h}\chi_{nlm}}{\chi_{nlm}} = \varepsilon_{nl} - \left[\frac{l(l+1)}{2r^2} - \frac{Z}{r}\right] + \frac{\frac{1}{2}\tilde{R}_{nl}'' + \frac{1}{r}\tilde{R}_{nl}'}{\tilde{R}_{nl}}\end{aligned}\quad (6.13)$$

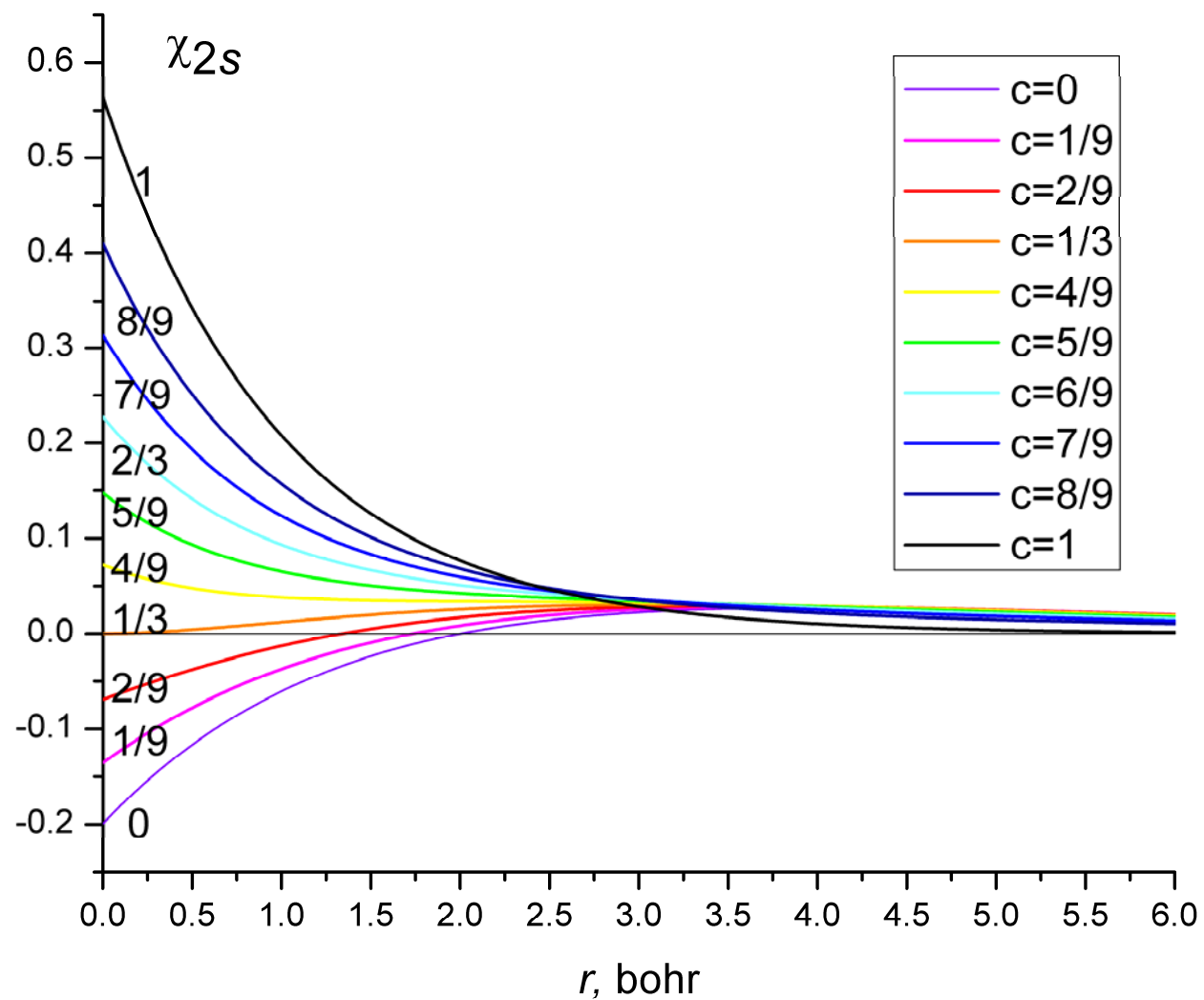
**(W.A. Goddard III, 1968)**

Важно, что  $U_l^{\text{core}} = U_l^{\text{core}}(r)$  – сферически-симметричный!

Характер зависимости  $U_l^{\text{core}} = U_l^{\text{core}}(r)$  от  $l$  и  $r$  определяется деталями устройства псевдовалентной орбитали  $\chi_{nlm} = \tilde{R}_{nl}(r) \cdot Y_{lm}(\theta, \phi)$

(оно весьма разнообразно в силу произвола в коэффициентах  $\lambda_c$ !)

## Разнообразие псевдовалентных орбиталей: пример атома водорода



- **Общие требования к радиальной части псевдоорбитали  $\tilde{R}_{nl}(r)$ :**

*L. R. Kahn, P. Baybutt and D. G. Truhlar / Journal of Chemical Physics 65 (1976) 3826*

- (I)  $\tilde{R}_{nl}(r)$  не имеет радиальных узлов (кроме  $r = 0$ );
  - (II)  $\tilde{R}_{nl}(r)$  минимально уклоняется от «истинной»  $R_{nl}(r)$ ;
  - (III)  $\tilde{R}_{nl}(r)$  по возможности не имеет волнообразного поведения в осто
- Условия (I)– (II) достаточно естественны, условие (III) требует пояснений.

🙄 Волны  $\tilde{R}_{nl}(r) \Rightarrow$  проблемы при построении валентного базиса АО

- **Пример волнообразного поведения псевдоорбитали: случай  $c=4/9$  на предыдущей иллюстрации**

- **Отступление: условие Като (cusp-condition)**

В примере, посвященном атому водорода, мы видели, что:

$$\varphi_{1s}(r) = \frac{1}{\sqrt{\pi}}(1 - r + \dots); \quad \varphi_{2s}(r) = \frac{1}{\sqrt{8\pi}}(1 - r + \dots) \quad (r \rightarrow 0)$$

Поскольку коэффициенты ряда Тейлора суть производные  $\Rightarrow$

$$\frac{\varphi'_{ns}}{\varphi_{ns}} \rightarrow -1, \quad r \rightarrow 0$$

**Это и есть условие Като для  $s$ -состояний.**

Для произвольного значения  $l$  и заряда ядра  $Z$ :

$$\frac{d(r^{-l} R_{nl})/dr}{r^{-l} R_{nl}} \rightarrow -\frac{Z}{l+1}, \quad r \rightarrow 0$$

Доказательство – разложение в ряд и подстановка в уравнение.

- Еще одна иллюстрация волн у псевдоорбитали: случай (а)

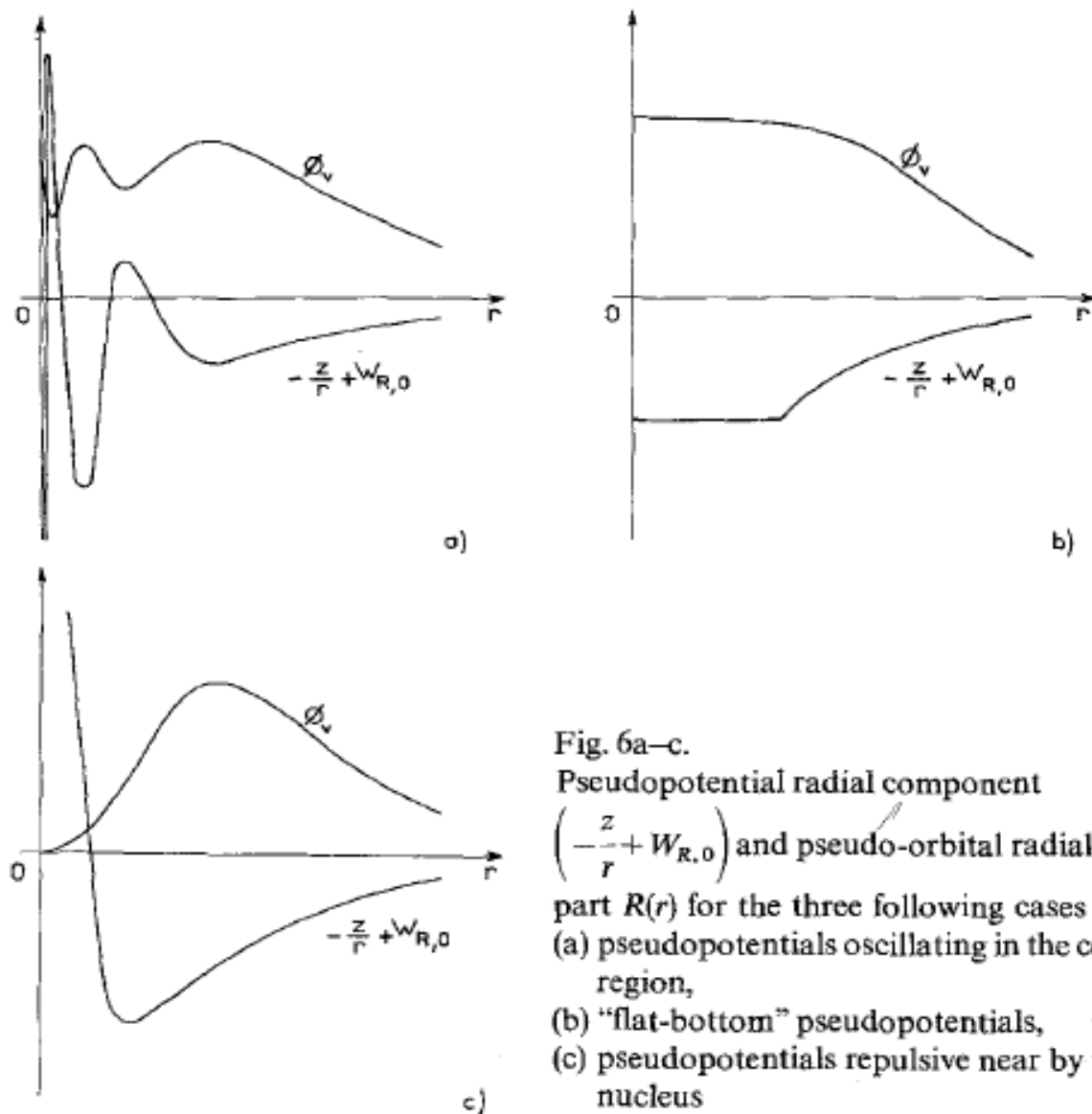


Fig. 6a-c.

Pseudopotential radial component

$\left(-\frac{z}{r} + W_{R,0}\right)$  and pseudo-orbital radial

part  $R(r)$  for the three following cases

(a) pseudopotentials oscillating in the core region,

(b) "flat-bottom" pseudopotentials,

(c) pseudopotentials repulsive near by the nucleus

- $2s$ -псевдоорбиталь атома водорода при  $c=1/3$ : отсутствие волн, осто́вный потенциал типа “repulsive” (“hard-core”):

